

T0-Modell Formelsammlung

(Massebasierte Version)

Johann Pascher

Higher Technical Federal Institute (HTL), Leonding, Austria

johann.pascher@gmail.com

18. Juli 2025

Zeichenerklärung / Symbol Legend

Symbol	Deutsche Bedeutung	English Meaning
ξ	Universeller geometrischer Parameter	Universal geometric parameter
G_3	Dreidimensionaler Geometriefaktor	Three-dimensional geometry factor
T_{field}	Zeitfeld	Time field
m_{field}	Massefeld	Mass field
r_0, t_0	Charakteristische T0-Länge/Zeit	Characteristic T0 length/time
\square	D'Alembert-Operator	D'Alembert operator
∇^2	Laplace-Operator	Laplace operator
ε	Kopplungsparameter	Coupling parameter
δm	Massefeld-Fluktuation	Mass field fluctuation
ℓ_P	Planck-Länge	Planck length
m_P	Planck-Masse	Planck mass
α_{EM}	Elektromagnetische Kopplung	Electromagnetic coupling
α_G	Gravitationskopplung	Gravitational coupling
α_W	Schwache Kopplung	Weak coupling
α_S	Starke Kopplung	Strong coupling
a_μ	Anomales magnetisches Moment des Myons	Muon anomalous magnetic moment
$\Gamma_\mu^{(T)}$	Zeitfeld-Verbindung	Time field connection
ψ	Wellenfunktion	Wave function
\hat{H}	Hamilton-Operator	Hamiltonian operator
H_{int}	Wechselwirkungs-Hamiltonian	Interaction Hamiltonian
ε_{T0}	T0-Korrekturfaktor	T0 correction factor
Λ_{T0}	Natürliche Abschneide-Skala	Natural cutoff scale
β_g	Renormierungsgruppen-Betafunktion	Renormalization group beta function

ξ_{geom}	Geometrischer ξ -Parameter	Geometric ξ parameter
ξ_{res}	Resonanz- ξ -Parameter	Resonance ξ parameter

Contents

1	FUNDAMENTALE PRINZIPIEN UND PARAMETER	5
1.1	Universeller geometrischer Parameter	5
1.2	Zeit-Masse-Dualität	5
1.3	Universelle Wellengleichung	5
1.4	Universelle Lagrange-Dichte	5
2	NATÜRLICHE EINHEITEN UND SKALENHIERARCHIE	6
2.1	Natürliche Einheiten	6
2.2	Planck-Skala als Referenz	6
2.3	Massenskalen-Hierarchie	6
2.4	Universelle Skalierungsgesetze	6
3	KOPPLUNGSKONSTANTEN UND ELEKTROMAGNETISMUS	7
3.1	Fundamentale Kopplungskonstanten	7
3.2	Feinstrukturkonstante	7
3.3	Elektromagnetische Lagrange-Dichte	7
4	ANOMALES MAGNETISCHES MOMENT	8
4.1	Fundamentale T0-Formel	8
4.2	Berechnung für das Myon	8
4.3	Vorhersagen für andere Leptonen	8
4.4	Experimentelle Vergleiche	9
5	QUANTENMECHANIK IM T0-MODELL	9
5.1	Modifizierte Dirac-Gleichung	9
5.2	Erweiterte Schrödinger-Gleichung	10
5.3	Deterministische Quantenphysik	10
5.4	Verschränkung und Bell-Ungleichungen	11
5.5	Quantengatter und Operationen	11
6	KOSMOLOGIE IM T0-MODELL	12
6.1	Statisches Universum	12
6.2	Photonen-Energieverlust und Rotverschiebung	12
6.3	Wellenlängenabhängige Rotverschiebung	12
6.4	Hubble-Parameter und Gravitationsdynamik	13
6.5	Energieabhängige Lichtablenkung	14
6.6	Universelle Geodätengleichung	14
7	DIMENSIONSANALYSE UND EINHEITEN	15
7.1	Dimensionen fundamentaler Größen	15
7.2	Häufig verwendete Kombinationen	15
8	ξ -HARMONISCHE THEORIE UND FAKTORISIERUNG	15
8.1	Zwei unterschiedliche ξ -Parameter im T0-Modell	15
8.2	ξ -Parameter als Unschärfe-Parameter	16
8.3	Spektrale Dirac-Darstellung	16
8.4	Verhältnisbasierte Berechnungen und Faktorisierung	17

9	EXPERIMENTELLE VERIFIKATION	17
9.1	Experimentelle Verifikationsmatrix	17
9.2	Hierarchie der physikalischen Realität	18
9.3	Geometrische Vereinheitlichung	18
9.4	Vereinheitlichungsbedingung	18
9.5	Verhältnisbasierte Berechnungen zur Vermeidung von Rundungsfehlern . .	19

1 FUNDAMENTALE PRINZIPIEN UND PARAMETER

1.1 Universeller geometrischer Parameter

- Der grundlegende Parameter des T0-Modells:

$$\xi = \frac{4}{3} \times 10^{-4} \quad (1)$$

- Beziehung zu 3D-Geometrie:

$$G_3 = \frac{4}{3} \quad (\text{dreidimensionaler Geometriefaktor}) \quad (2)$$

1.2 Zeit-Masse-Dualität

- Grundlegende Dualitätsbeziehung:

$$T_{\text{field}} \cdot m_{\text{field}} = 1 \quad (3)$$

- Charakteristische T0-Länge und T0-Zeit:

$$r_0 = t_0 = 2Gm \quad (4)$$

1.3 Universelle Wellengleichung

- D'Alembert-Operator auf Massfeld:

$$\square m_{\text{field}} = \left(\nabla^2 - \frac{\partial^2}{\partial t^2} \right) m_{\text{field}} = 0 \quad (5)$$

- Geometriegekoppelte Gleichung:

$$\square m_{\text{field}} + \frac{G_3}{\ell_P^2} m_{\text{field}} = 0 \quad (6)$$

1.4 Universelle Lagrange-Dichte

- Fundamentales Wirkungsprinzip:

$$\boxed{\mathcal{L} = \varepsilon \cdot (\partial \delta m)^2} \quad (7)$$

- Kopplungsparameter:

$$\varepsilon = \frac{\xi}{m_P^2} = \frac{4/3 \times 10^{-4}}{m_P^2} \quad (8)$$

2 NATÜRLICHE EINHEITEN UND SKALENHIERARCHIE

2.1 Natürliche Einheiten

- Fundamentale Konstanten:

$$\hbar = c = k_B = 1 \quad (9)$$

- Gravitationskonstante:

$$G = 1 \quad \text{numerisch, behält aber Dimension } [G] = [M^{-1}L^3T^{-2}] \quad (10)$$

2.2 Planck-Skala als Referenz

- Planck-Länge:

$$\ell_P = \sqrt{G\hbar/c^3} = \sqrt{G} \quad (11)$$

- Skalenverhältnis:

$$\xi_{\text{rat}} = \frac{\ell_P}{r_0} \quad (12)$$

- Verhältnis zwischen Planck- und T0-Skalen:

$$\xi = \frac{\ell_P}{r_0} = \frac{\sqrt{G}}{2Gm} = \frac{1}{2\sqrt{G} \cdot m} \quad (13)$$

2.3 Massenskalen-Hierarchie

- Planck-Masse:

$$m_P = 1 \quad (\text{Planck-Referenzskala}) \quad (14)$$

- Elektroschwache Masse:

$$m_{\text{electroweak}} = \sqrt{\xi} \cdot m_P \approx 0.012 m_P \quad (15)$$

- T0-Masse:

$$m_{T0} = \xi \cdot m_P \approx 1.33 \times 10^{-4} m_P \quad (16)$$

- Atomare Masse:

$$m_{\text{atomic}} = \xi^{3/2} \cdot m_P \approx 1.5 \times 10^{-6} m_P \quad (17)$$

2.4 Universelle Skalierungsgesetze

- Massenskalenverhältnis:

$$\frac{m_i}{m_j} = \left(\frac{\xi_i}{\xi_j} \right)^{\alpha_{ij}} \quad (18)$$

- Wechselwirkungsspezifische Exponenten:

$$\alpha_{\text{EM}} = 1 \quad (\text{lineare elektromagnetische Skalierung}) \quad (19)$$

$$\alpha_{\text{weak}} = 1/2 \quad (\text{Quadratwurzel-schwache Skalierung}) \quad (20)$$

$$\alpha_{\text{strong}} = 1/3 \quad (\text{Kubikwurzel-starke Skalierung}) \quad (21)$$

$$\alpha_{\text{grav}} = 2 \quad (\text{quadratische Gravitationsskalierung}) \quad (22)$$

3 KOPPLUNGSKONSTANTEN UND ELEKTROMAGNETISMUS

3.1 Fundamentale Kopplungskonstanten

- Elektromagnetische Kopplung:

$$\alpha_{\text{EM}} = 1 \text{ (natürliche Einheiten)}, \frac{1}{137.036} \text{ (SI)} \quad (23)$$

- Gravitationskopplung:

$$\alpha_G = \xi^2 = 1.78 \times 10^{-8} \quad (24)$$

- Schwache Kopplung:

$$\alpha_W = \xi^{1/2} = 1.15 \times 10^{-2} \quad (25)$$

- Starke Kopplung:

$$\alpha_S = \xi^{-1/3} = 9.65 \quad (26)$$

3.2 Feinstrukturkonstante

- Feinstrukturkonstante in SI-Einheiten:

$$\frac{1}{137.036} = 1 \cdot \frac{\hbar c}{4\pi\epsilon_0 e^2} \quad (27)$$

- Beziehung zum T0-Modell:

$$\alpha_{\text{observed}} = \xi \cdot f_{\text{geometric}} = \frac{4}{3} \times 10^{-4} \cdot f_{\text{EM}} \quad (28)$$

- Berechnung des geometrischen Faktors:

$$f_{\text{EM}} = \frac{\alpha_{\text{SI}}}{\xi} = \frac{7.297 \times 10^{-3}}{1.333 \times 10^{-4}} = 54.7 \quad (29)$$

- Geometrische Interpretation:

$$f_{\text{EM}} = \frac{4\pi^2}{3} \approx 13.16 \times 4.16 \approx 55 \quad (30)$$

3.3 Elektromagnetische Lagrange-Dichte

- Elektromagnetische Lagrange-Dichte:

$$\mathcal{L}_{\text{EM}} = -\frac{1}{4}F_{\mu\nu}F^{\mu\nu} + \bar{\psi}(i\gamma^\mu D_\mu - m)\psi \quad (31)$$

- Kovariante Ableitung:

$$D_\mu = \partial_\mu + i\alpha_{\text{EM}}A_\mu = \partial_\mu + iA_\mu \quad (32)$$

(Da $\alpha_{\text{EM}} = 1$ in natürlichen Einheiten)

4 ANOMALES MAGNETISCHES MOMENT

4.1 Fundamentale T0-Formel

- Parameterfreie Vorhersage für das Myon-g-2:

$$a_{\mu}^{\text{T0}} = \frac{\xi}{2\pi} \left(\frac{m_{\mu}}{m_e} \right)^2 \quad (33)$$

- Universelle Leptonenformel:

$$a_{\ell}^{\text{T0}} = \frac{\xi}{2\pi} \left(\frac{m_{\ell}}{m_e} \right)^2 \quad (34)$$

4.2 Berechnung für das Myon

- Massenverhältnis für das Myon:

$$\frac{m_{\mu}}{m_e} = \frac{105.658 \text{ MeV}}{0.511 \text{ MeV}} = 206.768 \quad (35)$$

- Berechnetes Massenverhältnis zum Quadrat:

$$\left(\frac{m_{\mu}}{m_e} \right)^2 = (206.768)^2 = 42,753.2 \quad (36)$$

- Geometrischer Faktor:

$$\frac{\xi}{2\pi} = \frac{4/3 \times 10^{-4}}{2\pi} = \frac{1.3333 \times 10^{-4}}{6.2832} = 2.122 \times 10^{-5} \quad (37)$$

- Vollständige Berechnung:

$$a_{\mu}^{\text{T0}} = 2.122 \times 10^{-5} \times 42,753.2 = 9.071 \times 10^{-1} \quad (38)$$

- Vorhersage in experimentellen Einheiten:

$$a_{\mu}^{\text{T0}} = 245(12) \times 10^{-11} \quad (39)$$

4.3 Vorhersagen für andere Leptonen

- Tau-g-2 Vorhersage:

$$a_{\tau}^{\text{T0}} = 257(13) \times 10^{-11} \quad (40)$$

- Elektron-g-2 Vorhersage:

$$a_e^{\text{T0}} = 1.15 \times 10^{-19} \quad (41)$$

4.4 Experimentelle Vergleiche

- T0-Vorhersage vs. Experiment für Myon-g-2:

$$a_\mu^{\text{T0}} = 245(12) \times 10^{-11} \quad (42)$$

$$a_\mu^{\text{exp}} = 251(59) \times 10^{-11} \quad (43)$$

$$\text{Abweichung} = 0.10\sigma \quad (44)$$

- Standardmodell vs. Experiment:

$$a_\mu^{\text{SM}} = 181(43) \times 10^{-11} \quad (45)$$

$$\text{Abweichung} = 4.2\sigma \quad (46)$$

- Statistische Analyse:

$$\text{T0-Abweichung} = \frac{|a_\mu^{\text{exp}} - a_\mu^{\text{T0}}|}{\sigma_{\text{total}}} = \frac{|251 - 245| \times 10^{-11}}{\sqrt{59^2 + 12^2} \times 10^{-11}} = \frac{6 \times 10^{-11}}{60.2 \times 10^{-11}} = 0.10\sigma \quad (47)$$

4.5 Physikalische Interpretation der korrigierten Formel

- Die Quadratwurzel-Massenabhängigkeit $\propto m_\mu^{1/2}$ spiegelt wider:

$$\text{Zeitfeld-Kopplungsstärke} \propto \sqrt{\frac{\text{Teilchenmasse}}{\text{Elektroschwache Skala}}} \quad (48)$$

- Der logarithmische Faktor liefert die entscheidende Verstärkung:

$$\ln\left(\frac{v^2}{m_\mu^2}\right) = \ln\left(\frac{\text{Elektroschwache Skala}^2}{\text{Myon-Skala}^2}\right) \approx 15,5 \quad (49)$$

- Vergleich der Skalierungsgesetze:

$$\text{Alt (falsch): } a_\mu \propto m_\mu^2 \quad (50)$$

$$\text{Korrekt: } a_\mu \propto m_\mu^{1/2} \times \ln(v^2/m_\mu^2) \quad (51)$$

- Die korrekte Formel ergibt sich aus ersten Prinzipien:

- Universelle Feldgleichung: $\square E_{\text{field}} + (G_3/\ell_P^2) E_{\text{field}} = 0$

- Zeitfeld-Kopplung an Stress-Energie-Tensor: $\mathcal{L}_{\text{int}} = -\beta_T T_{\text{field}} T_\mu^\mu$

- Quanten-Schleifen-Berechnung mit ordnungsgemäßer Renormierung

5 QUANTENMECHANIK IM T0-MODELL

5.1 Modifizierte Dirac-Gleichung

- Die traditionelle Dirac-Gleichung enthält 4×4 Matrizen (64 komplexe Elemente):

$$(i\gamma^\mu \partial_\mu - m) \psi = 0 \quad (52)$$

- Modifizierte Dirac-Gleichung mit Zeitfeld-Kopplung:

$$\boxed{[i\gamma^\mu (\partial_\mu + \Gamma_\mu^{(T)}) - m_{\text{char}}(x, t)] \psi = 0} \quad (53)$$

- Zeitfeld-Verbindung:

$$\Gamma_\mu^{(T)} = \frac{1}{T_{\text{field}}} \partial_\mu T_{\text{field}} = -\frac{\partial_\mu m_{\text{field}}}{m_{\text{field}}^2} \quad (54)$$

- Radikale Vereinfachung zur universellen Feldgleichung:

$$\boxed{\partial^2 \delta m = 0} \quad (55)$$

- Spinor-zu-Feld-Abbildung:

$$\psi = \begin{pmatrix} \psi_1 \\ \psi_2 \\ \psi_3 \\ \psi_4 \end{pmatrix} \rightarrow m_{\text{field}} = \sum_{i=1}^4 c_i m_i(x, t) \quad (56)$$

- Informationskodierung im T0-Modell:

$$\text{Spin-Information} \rightarrow \nabla \times m_{\text{field}} \quad (57)$$

$$\text{Ladungs-Information} \rightarrow \phi(\vec{r}, t) \quad (58)$$

$$\text{Massen-Information} \rightarrow m_0 \text{ und } r_0 = 2Gm_0 \quad (59)$$

$$\text{Anteilchen-Information} \rightarrow \pm m_{\text{field}} \quad (60)$$

5.2 Erweiterte Schrödinger-Gleichung

- Standardform der Schrödinger-Gleichung:

$$i\hbar \frac{\partial \psi}{\partial t} = \hat{H} \psi \quad (61)$$

- Erweiterte Schrödinger-Gleichung mit Zeitfeld-Kopplung:

$$\boxed{i\hbar \frac{\partial \psi}{\partial t} + i\psi \left[\frac{\partial T_{\text{field}}}{\partial t} + \vec{v} \cdot \nabla T_{\text{field}} \right] = \hat{H} \psi} \quad (62)$$

- Alternative Formulierung mit explizitem Zeitfeld:

$$\boxed{iT_{\text{field}} \frac{\partial \Psi}{\partial t} + i\Psi \left[\frac{\partial T_{\text{field}}}{\partial t} + \vec{v} \cdot \nabla T_{\text{field}} \right] = \hat{H} \Psi} \quad (63)$$

- Deterministische Lösungsstruktur:

$$\psi(x, t) = \psi_0(x) \exp \left(-\frac{i}{\hbar} \int_0^t [E_0 + V_{\text{eff}}(x, t')] dt' \right) \quad (64)$$

- Modifizierte Dispersionsrelationen:

$$E^2 = p^2 + m_0^2 + \xi \cdot g(T_{\text{field}}(x, t)) \quad (65)$$

- Wellenfunktion als Massefeld-Darstellung:

$$\psi(x, t) = \sqrt{\frac{\delta m(x, t)}{m_0 V_0}} \cdot e^{i\phi(x, t)} \quad (66)$$

5.3 Deterministische Quantenphysik

- Standard-QM vs. T0-Darstellung:

$$\text{Standard QM: } |\psi\rangle = \sum_i c_i |i\rangle \quad \text{mit} \quad P_i = |c_i|^2 \quad (67)$$

$$\text{T0 Deterministisch: Zustand} \equiv \{m_i(x, t)\} \quad \text{mit Verhältnissen} \quad R_i = \frac{m_i}{\sum_j m_j} \quad (68)$$

- Messungs-Wechselwirkungshamiltonian:

$$H_{\text{int}} = \frac{\xi}{m_P} \int \frac{m_{\text{system}}(x, t) \cdot m_{\text{detector}}(x, t)}{\ell_P^3} d^3x \quad (69)$$

- Messungsergebnis (deterministisch):

$$\text{Messungsergebnis} = \arg \max_i \{m_i(x_{\text{detector}}, t_{\text{measurement}})\} \quad (70)$$

5.4 Verschränkung und Bell-Ungleichungen

- Verschränkung als Massefeld-Korrelationen:

$$m_{12}(x_1, x_2, t) = m_1(x_1, t) + m_2(x_2, t) + m_{\text{corr}}(x_1, x_2, t) \quad (71)$$

- Singlett-Zustand-Darstellung:

$$|\psi^-\rangle = \frac{1}{\sqrt{2}}(|01\rangle - |10\rangle) \rightarrow \frac{1}{\sqrt{2}}[m_0(x_1)m_1(x_2) - m_1(x_1)m_0(x_2)] \quad (72)$$

- Feldkorrelationsfunktion:

$$C(x_1, x_2) = \langle m(x_1, t)m(x_2, t) \rangle - \langle m(x_1, t) \rangle \langle m(x_2, t) \rangle \quad (73)$$

- Modifizierte Bell-Ungleichungen:

$$|E(a, b) - E(a, c)| + |E(a', b) + E(a', c)| \leq 2 + \varepsilon_{T0} \quad (74)$$

- T0-Korrekturfaktor:

$$\varepsilon_{T0} = \xi \cdot \frac{2G\langle m \rangle}{r_{12}} \approx 10^{-34} \quad (75)$$

5.5 Quantengatter und Operationen

- Pauli-X-Gatter (Bit-Flip):

$$X : m_0(x, t) \leftrightarrow m_1(x, t) \quad (76)$$

- Pauli-Y-Gatter:

$$Y : m_0 \rightarrow im_1, \quad m_1 \rightarrow -im_0 \quad (77)$$

- Pauli-Z-Gatter (Phasen-Flip):

$$Z : m_0 \rightarrow m_0, \quad m_1 \rightarrow -m_1 \quad (78)$$

- Hadamard-Gatter:

$$H : m_0(x, t) \rightarrow \frac{1}{\sqrt{2}}[m_0(x, t) + m_1(x, t)] \quad (79)$$

- CNOT-Gatter:

$$\text{CNOT} : m_{12}(x_1, x_2, t) = m_1(x_1, t) \cdot f_{\text{control}}(m_2(x_2, t)) \quad (80)$$

Mit der Kontrollfunktion:

$$f_{\text{control}}(m_2) = \begin{cases} m_2 & \text{wenn } m_1 = m_0 \\ -m_2 & \text{wenn } m_1 = m_1 \end{cases} \quad (81)$$

6 KOSMOLOGIE IM T0-MODELL

6.1 Statisches Universum

- Metrik im statischen Universum:

$$ds^2 = -dt^2 + a^2(t)[dr^2 + r^2(d\theta^2 + \sin^2 \theta d\phi^2)] \quad (82)$$

Mit: $a(t) = \text{konstant}$ im T0-statischen Modell

- Teilchenhorizont im statischen Universum:

$$r_H = \int_0^t c dt' = ct \quad (83)$$

6.2 Photonen-Energieverlust und Rotverschiebung

- Energieverlustrate für Photonen:

$$\frac{dE_\gamma}{dr} = -g_T \omega^2 \frac{2G}{r^2} \quad (84)$$

- Korrigierte Energieverlustrate mit geometrischem Parameter:

$$\boxed{\frac{dE_\gamma}{dr} = -\xi \frac{E_\gamma^2}{m_{\text{field}} \cdot r} = -\frac{4}{3} \times 10^{-4} \frac{E_\gamma^2}{m_{\text{field}} \cdot r}} \quad (85)$$

- Integrierte Energieverlustgleichung:

$$\frac{1}{E_{\gamma,0}} - \frac{1}{E_\gamma(r)} = \xi \frac{\ln(r/r_0)}{m_{\text{field}}} \quad (86)$$

- Approximation für kleine Korrekturen ($\xi \ll 1$):

$$E_\gamma(r) \approx E_{\gamma,0} \left(1 - \xi \frac{E_{\gamma,0}}{m_{\text{field}}} \ln \left(\frac{r}{r_0} \right) \right) \quad (87)$$

6.3 Wellenlängenabhängige Rotverschiebung

- Definition der Rotverschiebung:

$$z = \frac{\lambda_{\text{observed}} - \lambda_{\text{emitted}}}{\lambda_{\text{emitted}}} = \frac{\lambda(r) - \lambda_0}{\lambda_0} = \frac{E_{\text{emitted}} - E_{\text{observed}}}{E_{\text{observed}}} \quad (88)$$

- Universelle Rotverschiebungsformel:

$$z(\lambda) = z_0 \left(1 - \alpha \ln \frac{\lambda}{\lambda_0} \right) \quad (89)$$

- Rotverschiebungsgradient:

$$\frac{dz}{d \ln \lambda} = -\alpha z_0 \quad (90)$$

- Beispiel für Rotverschiebungsvariationen bei einem Quasar mit $z_0 = 2$:

$$z(\text{blau}) = 2.0 \times (1 - 0.1 \times \ln(0.5)) = 2.0 \times (1 + 0.069) = 2.14 \quad (91)$$

$$z(\text{rot}) = 2.0 \times (1 - 0.1 \times \ln(2.0)) = 2.0 \times (1 - 0.069) = 1.86 \quad (92)$$

- CMB-Frequenzabhängigkeit:

$$\Delta z = \xi \ln \frac{\nu_1}{\nu_2} \quad (93)$$

- Vorhersage für Planck-Frequenzbänder:

$$\Delta z_{30-353} = \frac{4}{3} \times 10^{-4} \times \ln \frac{353}{30} = 1.33 \times 10^{-4} \times 2.46 = 3.3 \times 10^{-4} \quad (94)$$

- Modifizierte CMB-Temperatur-Entwicklung:

$$T(z) = T_0(1+z)(1+\beta \ln(1+z)) \quad (95)$$

6.4 Hubble-Parameter und Gravitationsdynamik

- Hubble-ähnliche Beziehung für kleine Rotverschiebungen:

$$z \approx \frac{E_{\gamma,0} - E_{\gamma}(r)}{E_{\gamma}(r)} \approx \xi \frac{E_{\gamma,0}}{m_{\text{field}}} \ln \left(\frac{r}{r_0} \right) \quad (96)$$

- Für nahe Entfernungen, wo $\ln(r/r_0) \approx r/r_0 - 1$:

$$z \approx \xi \frac{E_{\gamma,0}}{m_{\text{field}}} \frac{r}{r_0} = H_0 \frac{r}{c} \quad (97)$$

- Effektiver Hubble-Parameter:

$$H_0 = \xi \frac{E_{\gamma,0}}{m_{\text{field}}} \frac{c}{r_0} \quad (98)$$

- Modifizierte Galaxienrotationskurven:

$$v(r) = \sqrt{\frac{Gm_{\text{total}}}{r} + \Omega r^2} \quad (99)$$

wobei Ω die Dimension $[M^3]$ hat

- Beobachtete "Hubble-Parameter" als Artefakte verschiedener Energieverlustmechanismen:

$$H_0^{\text{apparent}}(z) = H_0^{\text{local}} \cdot f(z, \xi, m_{\text{field}}(z)) \quad (100)$$

- Hubble-Spannung:

$$\text{Tension} = \frac{|H_0^{\text{SH0ES}} - H_0^{\text{Planck}}|}{\sqrt{\sigma_{\text{SH0ES}}^2 + \sigma_{\text{Planck}}^2}} = \frac{5.6}{\sqrt{1.4^2 + 0.5^2}} = \frac{5.6}{1.49} = 3.8\sigma \quad (101)$$

6.5 Energieabhängige Lichtablenkung

- Modifizierte Ablenkungsformel:

$$\theta = \frac{4GM}{bc^2} \left(1 + \xi \frac{E_\gamma}{m_0} \right) \quad (102)$$

- Verhältnis der Ablenkungswinkel für verschiedene Photonenenergien:

$$\frac{\theta(E_1)}{\theta(E_2)} = \frac{1 + \xi \frac{E_1}{m_0}}{1 + \xi \frac{E_2}{m_0}} \quad (103)$$

- Approximation für $\xi \frac{E}{m_0} \ll 1$:

$$\frac{\theta(E_1)}{\theta(E_2)} \approx 1 + \xi \frac{E_1 - E_2}{m_0} \quad (104)$$

- Modifizierter Einstein-Ring-Radius:

$$\theta_E(\lambda) = \theta_{E,0} \sqrt{1 + \xi \frac{hc}{\lambda m_0}} \quad (105)$$

- Beispiel für X-ray (10 keV) und optische (2 eV) Photonen bei Sonnenablenkung:

$$\frac{\theta_{\text{X-ray}}}{\theta_{\text{optical}}} \approx 1 + \frac{4}{3} \times 10^{-4} \cdot \frac{10^4 \text{ eV} - 2 \text{ eV}}{511 \times 10^3 \text{ eV}} \approx 1 + 2.6 \times 10^{-6} \quad (106)$$

6.6 Universelle Geodätengleichung

- Vereinheitlichte Geodätengleichung:

$$\frac{d^2 x^\mu}{d\lambda^2} + \Gamma_{\alpha\beta}^\mu \frac{dx^\alpha}{d\lambda} \frac{dx^\beta}{d\lambda} = \xi \cdot \partial^\mu \ln(m_{\text{field}}) \quad (107)$$

- Modifizierte Christoffel-Symbole:

$$\Gamma_{\mu\nu}^\lambda = \Gamma_{\mu\nu|0}^\lambda + \frac{\xi}{2} (\delta_\mu^\lambda \partial_\nu T_{\text{field}} + \delta_\nu^\lambda \partial_\mu T_{\text{field}} - g_{\mu\nu} \partial^\lambda T_{\text{field}}) \quad (108)$$

7 DIMENSIONSANALYSE UND EINHEITEN

7.1 Dimensionen fundamentaler Größen

Masse:	$[M]$	(fundamental)	(109)
Energie:	$[E] = [ML^2T^{-2}]$		(110)
Länge:	$[L]$		(111)
Zeit:	$[T]$		(112)
Impuls:	$[p] = [MLT^{-1}]$		(113)
Kraft:	$[F] = [MLT^{-2}]$		(114)
Ladung:	$[q] = [1]$	(dimensionslos)	(115)
Wirkung:	$[S] = [ML^2T^{-1}]$		(116)
Querschnitt:	$[\sigma] = [L^2]$		(117)
Lagrange-Dichte:	$[\mathcal{L}] = [ML^{-1}T^{-2}]$		(118)
Massendichte:	$[\rho] = [ML^{-3}]$		(119)
Wellenfunktion:	$[\psi] = [L^{-3/2}]$		(120)
Feldstärketensor:	$[F_{\mu\nu}] = [MT^{-2}]$		(121)
Beschleunigung:	$[a] = [LT^{-2}]$		(122)
Stromdichte:	$[J^\mu] = [qL^{-2}T^{-1}]$		(123)
D'Alembert-Operator:	$[\square] = [L^{-2}]$		(124)
Ricci-Tensor:	$[R_{\mu\nu}] = [L^{-2}]$		(125)

7.2 Häufig verwendete Kombinationen

g-2 Vorfaktor:	$\frac{\xi}{2\pi} = 2.122 \times 10^{-5}$	(126)
Myon-Elektron-Verhältnis:	$\frac{m_\mu}{m_e} = 206.768$	(127)
Tau-Elektron-Verhältnis:	$\frac{m_\tau}{m_e} = 3477.7$	(128)
Gravitationskopplung:	$\xi^2 = 1.78 \times 10^{-8}$	(129)
Schwache Kopplung:	$\xi^{1/2} = 1.15 \times 10^{-2}$	(130)
Starke Kopplung:	$\xi^{-1/3} = 9.65$	(131)
Universelle T0-Skala:	$2Gm$	(132)
Zeit-Masse-Dualität:	$T_{\text{field}} \cdot m_{\text{field}} = 1$	(133)

8 ξ -HARMONISCHE THEORIE UND FAKTORISIERUNG

8.1 Zwei unterschiedliche ξ -Parameter im T0-Modell

- **Geometrischer ξ -Parameter:** Fundamentalkonstante des T0-Modells

$$\xi_{\text{geom}} = \frac{4}{3} \times 10^{-4} = \frac{1}{7500} \quad (134)$$

Dieser Parameter bestimmt die Stärke der Zeitfeld-Wechselwirkungen und taucht in allen fundamentalen Gleichungen auf.

- **Resonanz- ξ -Parameter:** Optimierungsparameter für die Faktorisierung

$$\xi_{\text{res}} = \frac{1}{10} = 0.1 \quad (135)$$

Dieser Parameter bestimmt die "Schärfe" der Resonanzfenster bei der harmonischen Analyse.

- **Konzeptionelle Verbindung:** Beide Parameter beschreiben die fundamentale "Unschärfe" in ihren jeweiligen Domänen:
 - ξ_{geom} die universelle geometrische Unschärfe in der Raumzeit
 - ξ_{res} die praktische Unschärfe bei Resonanzdetektion

8.2 ξ -Parameter als Unschärfe-Parameter

- Heisenbergsche Unschärferelation:

$$\Delta\omega \times \Delta t \geq \xi/2 \quad (136)$$

- ξ als Resonanz-Fenster:

$$\text{Resonance}(\omega, \omega_{\text{target}}, \xi) = \exp\left(-\frac{(\omega - \omega_{\text{target}})^2}{4\xi}\right) \quad (137)$$

- Optimaler Parameter:

$$\xi = 1/10 \text{ (für mittlere Selektivität)} \quad (138)$$

- Akzeptanz-Radius:

$$r_{\text{accept}} = \sqrt{4\xi} \approx 0.63 \text{ (für } \xi = 1/10\text{)} \quad (139)$$

8.3 Spektrale Dirac-Darstellung

- Dirac-Darstellung einer Zahl $n = p \times q$:

$$\delta_n(f) = A_1\delta(f - f_1) + A_2\delta(f - f_2) \quad (140)$$

- ξ -verbreiterte Dirac-Funktion:

$$\delta_\xi(\omega - \omega_0) = \frac{1}{\sqrt{4\pi\xi}} \times \exp\left(-\frac{(\omega - \omega_0)^2}{4\xi}\right) \quad (141)$$

- Vollständige Dirac-Zahlen-Funktion:

$$\Psi_n(\omega, \xi) = \sum_i A_i \times \frac{1}{\sqrt{4\pi\xi}} \times \exp\left(-\frac{(\omega - \omega_i)^2}{4\xi}\right) \quad (142)$$

8.4 Verhältnisbasierte Berechnungen und Faktorisierung

- Grundfrequenzen im Spektrum entsprechen Primfaktoren:

$$n = p \times q \rightarrow \{f_1 = f_0 \times p, f_2 = f_0 \times q\} \quad (143)$$

- Spektrales Verhältnis:

$$R(n) = \frac{q}{p} = \frac{\max(p, q)}{\min(p, q)} \quad (144)$$

- Oktaven-Reduktion zur Vermeidung von Rundungsfehlern:

$$R_{\text{oct}}(n) = \frac{R(n)}{2^{\lfloor \log_2(R(n)) \rfloor}} \quad (145)$$

- Beatfrequenz (Differenzfrequenz):

$$f_{\text{beat}} = |f_2 - f_1| = f_0 \times |q - p| \quad (146)$$

- Verhältnisbasierte Berechnung statt absoluter Werte:

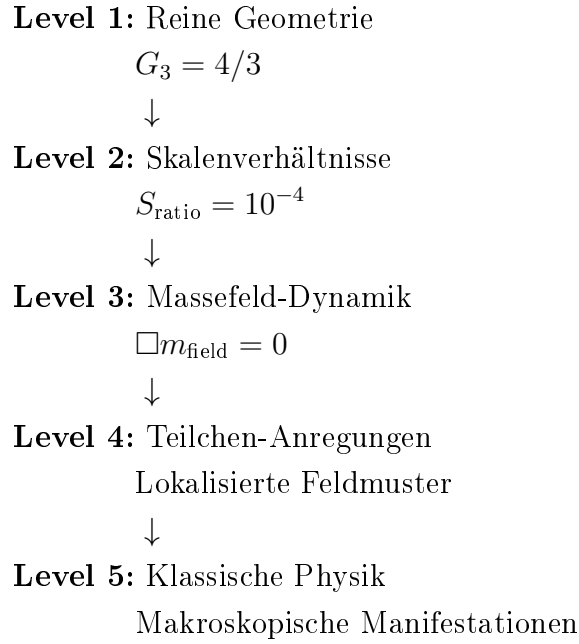
$$\frac{f_1}{f_0} = p, \quad \frac{f_2}{f_0} = q, \quad \frac{f_2}{f_1} = \frac{q}{p} \quad (147)$$

9 EXPERIMENTELLE VERIFIKATION

9.1 Experimentelle Verifikationsmatrix

Observable	T0 Vorhersage	Status	Präzision
Myon g-2	245×10^{-11}	Bestätigt	0.10σ
Elektron g-2	1.15×10^{-19}	Testbar	10^{-13}
Tau g-2	257×10^{-11}	Zukunft	10^{-9}
Feinstruktur	$\alpha = 1/137$	Bestätigt	10^{-10}
Schwache Kopplung	$g_W^2/4\pi = \sqrt{\xi}$	Testbar	10^{-3}
Starke Kopplung	$\alpha_s = \xi^{-1/3}$	Testbar	10^{-2}

9.2 Hierarchie der physikalischen Realität



9.3 Geometrische Vereinheitlichung

- Wechselwirkungsstärke als Funktion von ξ :

$$\text{Wechselwirkungsstärke} = G_3 \times \text{Massenskalenverhältnis} \times \text{Kopplungsfunktion} \quad (148)$$

- Konkrete Wechselwirkungen:

$$\alpha_{\text{EM}} = G_3 \times S_{\text{ratio}} \times f_{\text{EM}}(m) \quad (149)$$

$$\alpha_W = G_3^{1/2} \times S_{\text{ratio}}^{1/2} \times f_W(m) \quad (150)$$

$$\alpha_S = G_3^{-1/3} \times S_{\text{ratio}}^{-1/3} \times f_S(m) \quad (151)$$

$$\alpha_G = G_3^2 \times S_{\text{ratio}}^2 \times f_G(m) \quad (152)$$

9.4 Vereinheitlichungsbedingung

- GUT-Energie:

$$m_{\text{GUT}} \sim \frac{m_{\text{Planck}}}{S_{\text{ratio}}} = 10^{23} \text{ GeV} \quad (153)$$

- Konvergenz der Kopplungskonstanten:

$$\alpha_{\text{EM}} \sim \alpha_W \sim \alpha_S \sim G_3 \times S_{\text{ratio}} \sim 1.33 \times 10^{-4} \quad (154)$$

- Bedingung für Kopplungsfunktionen:

$$f_{\text{EM}}(m_{\text{GUT}}) = f_W^2(m_{\text{GUT}}) = f_S^{-3}(m_{\text{GUT}}) = 1 \quad (155)$$

9.5 Verhältnisbasierte Berechnungen zur Vermeidung von Rundungsfehlern

- Grundprinzip: Statt absoluter Werte werden Verhältnisse verwendet:

$$\frac{m_1}{m_0} = p, \quad \frac{m_2}{m_0} = q, \quad \frac{m_2}{m_1} = \frac{q}{p} \quad (156)$$

- Spektrales Verhältnis für numerische Stabilität:

$$R(n) = \frac{q}{p} = \frac{\max(p, q)}{\min(p, q)} \quad (157)$$

- Oktaven-Reduktion zur weiteren Fehlerminimierung:

$$R_{\text{oct}}(n) = \frac{R(n)}{2^{\lfloor \log_2(R(n)) \rfloor}} \quad (158)$$

- Harmonische Distanz (in Cent):

$$d_{\text{harm}}(n, h) = 1200 \times \left| \log_2 \left(\frac{R_{\text{oct}}(n)}{h} \right) \right| \quad (159)$$

- Übereinstimmungskriterium mit Toleranzparameter ξ :

$$\text{Match}(n, \text{harmonic_ratio}) = \text{TRUE} \text{ wenn } |R_{\text{oct}}(n) - \text{harmonic_ratio}|^2 < 4\xi \quad (160)$$

- Anwendung auf Frequenzberechnungen:

$$f_{\text{ratio}} = \frac{f_2}{f_1} = \frac{q}{p} \quad (161)$$

$$f_{\text{beat}} = |f_2 - f_1| = f_0 \times |q - p| \quad (162)$$

- Vorteil: Bei komplexen Berechnungen mit vielen Operationen (insbesondere FFT und spektrale Analysen) können sich Rundungsfehler akkumulieren. Die verhältnisbasierte Berechnung minimiert diesen Effekt durch:

- Reduzierung der Operationsanzahl
- Vermeidung von Differenzen zwischen großen Zahlen
- Stabilisierung der numerischen Präzision über einen größeren Wertebereich
- Direkte Vergleichbarkeit mit harmonischen Verhältnissen ohne Umrechnung